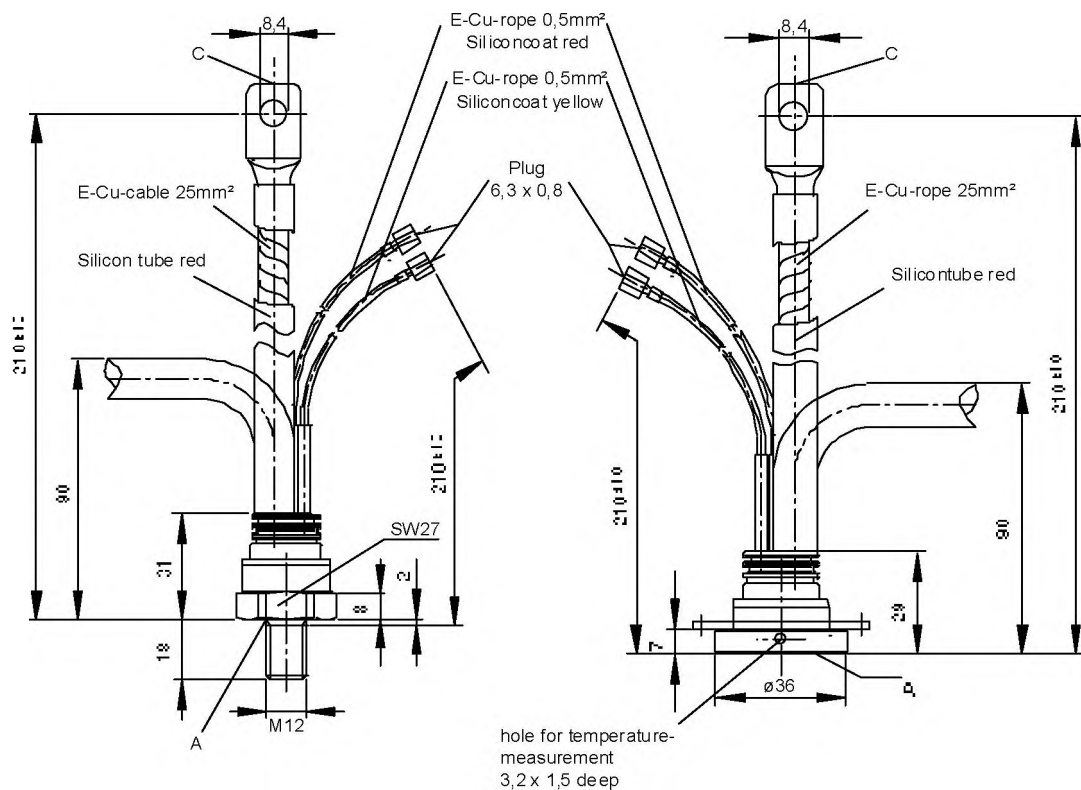


European Power-  
Semiconductor and  
Electronic Company

## Marketing Information T 130 N



# T 130 N

<b>Elektrische Eigenschaften</b>		<b>Electrical properties</b>			
<b>Höchstzulässige Werte</b>		<b>Maximum rated values</b>			
Periodische Vorwärts- und Rückwärts-Spitzenperrspannung		repetitive peak forward off-state and reverse voltages	$t_{vj} = -40^{\circ}\text{C} \dots t_{vj\ max}$	$V_{DRM}, V_{RRM}$	600 800 1000 1200 1400 1600 1800
Vorwärts-Stoßspitzenperrspannung		non-repetitive peak forward off-state voltage	$t_{vj} = -40^{\circ}\text{C} \dots t_{vj\ max}$	$V_{DSM} = V_{DRM}$	600 800 1000 1200 1400 1600 1800
Rückwärts-Stoßspitzenperrspannung		non-repetitive peak reverse voltage	$t_{vj} = +25^{\circ}\text{C} \dots t_{vj\ max}$	$V_{RSM} = V_{RRM}$	700 900 1100 1300 1500 1700 1900
Durchlaßstrom-Grenzeffektivwert		RMS on-state current		$I_{TRMSM}$	300
Dauergrenzstrom		average on-state current	$t_c = 85^{\circ}\text{C}$	$I_{TAVM}$	130
			$t_c = 56^{\circ}\text{C}$		190
Stoßstrom-Grenzwert		surge current	$t_{vj} = 25^{\circ}\text{C}, t_p = 10 \text{ ms}$	$I_{TSM}$	3500
			$t_{vj} = t_{vj\ max}, t_p = 10 \text{ ms}$		3000
Grenzlastintegral		$I^2 t$ -value	$t_{vj} = 25^{\circ}\text{C}, t_p = 10 \text{ ms}$	$I^2 t$	61000
			$t_{vj} = t_{vj\ max}, t_p = 10 \text{ ms}$		45000
Kritische Stromsteilheit		critical rate of rise of on-state current	$v_D \leq 67\%, V_{DRM}, f = 50 \text{ Hz}$	$(di_T/dt)_{cr}$	150
			$v_L = 10 \text{ V}, i_{GM} = 0,75 \text{ A}, di_G/dt = 0,75 \text{ A}/\mu\text{s}$		$\text{A}/\mu\text{s}$
Kritische Spannungssteilheit		critical rate of rise of off-state voltage	$t_{vj} = t_{vj\ max}, v_D = 67\% V_{DRM}$	$(dv/dt)_{cr}$	1000
					$\text{V}/\mu\text{s}$
<b>Charakteristische Werte</b>		<b>Characteristic values</b>			
Durchlaßspannung		on-state voltage	$t_{vj} = t_{vj\ max}, i_T = 600 \text{ A}$	$v_T$	max. 1,96
Schleusenspannung		threshold voltage	$t_{vj} = t_{vj\ max}$	$V_{T(TO)}$	1,08
Ersatzwiderstand		slope resistance	$t_{vj} = t_{vj\ max}$	$I_T$	1,53
Zündstrom		gate trigger current	$t_{vj} = 25^{\circ}\text{C}, v_D = 6 \text{ V}$	$I_{GT}$	max. 150
Zündspannung		gate trigger voltage	$t_{vj} = 25^{\circ}\text{C}, v_D = 6 \text{ V}$	$V_{GT}$	max. 1,4
Nicht zündender Steuerstrom		gate non-trigger current	$t_{vj} = t_{vj\ max}, v_D = 6 \text{ V}$	$I_{GD}$	max. 5
Nicht zündende Steuerspannung		gate non-trigger voltage	$t_{vj} = t_{vj\ max}, v_D = 0,5 V_{DRM}$	$V_{GD}$	max. 0,2
Haltestrom		holding current	$t_{vj} = 25^{\circ}\text{C}, v_D = 6 \text{ V}, R_A = 5 \Omega$	$I_H$	max. 200
Einraststrom		latching current	$t_{vj} = 25^{\circ}\text{C}, v_D = 6 \text{ V}, R_{GK} \geq 10 \Omega$	$I_L$	max. 620
Vorwärts- und Rückwärts-Sperrstrom		forward off-state and reverse currents	$i_{GM} = 0,75 \text{ A}, di_G/dt = 0,75 \text{ A}/\mu\text{s}, t_g = 20 \mu\text{s}$	$i_D, i_R$	max. 30
Zündverzug		gate controlled delay time	$t_{vj} = t_{vj\ max}, V_D = V_{DRM}, v_R = V_{RRM}$	$t_{gd}$	max. 4,5
Freiwerdezeit		circuit commutated turn-off time	$t_{vj} = 25^{\circ}\text{C}, i_{GM} = 0,75 \text{ A}, di_G/dt = 0,75 \text{ A}/\mu\text{s}$	$t_q$	typ. 180
			siehe Techn. Erl./see Techn. Inf.		$\mu\text{s}$
					$\mu\text{s}$
<b>Thermische Eigenschaften</b>		<b>Thermal properties</b>			
Innerer Wärmewiderstand		thermal resistance, junction to case	$\Theta = 180^{\circ} \text{ el, sin}$ DC	$R_{thJC}$	max. 0,2
Höchstzul. Sperrsichttemperatur		max. junction temperature			$^{\circ}\text{C}/\text{W}$
Betriebstemperatur		operating temperature			max. 0,19
Lagertemperatur		storage temperature			$^{\circ}\text{C}/\text{W}$
<b>Mechanische Eigenschaften</b>		<b>Mechanical properties</b>			
Si-Elemente mit Druckkontakt		Si-pellet with pressure contact			
Anzugsdrehmoment		tightening torque	Gehäuseform/case design B	M	20
Anpreßkraft		clamping force	Gehäuseform/case design E	F	3,5
Gewicht, Bauform E		weight, case design E		G	typ. 190
Kriechstrecke		creepage distance			g
Feuchteklassse		humidity classification	DIN 40040		8
Schwingfestigkeit		vibration resistance	f = 50 Hz		mm
Maßbild, anliegend		outline, attached	DIN 41 894-222A4/DIN 41892-204B3		C
					m/s <sup>2</sup>

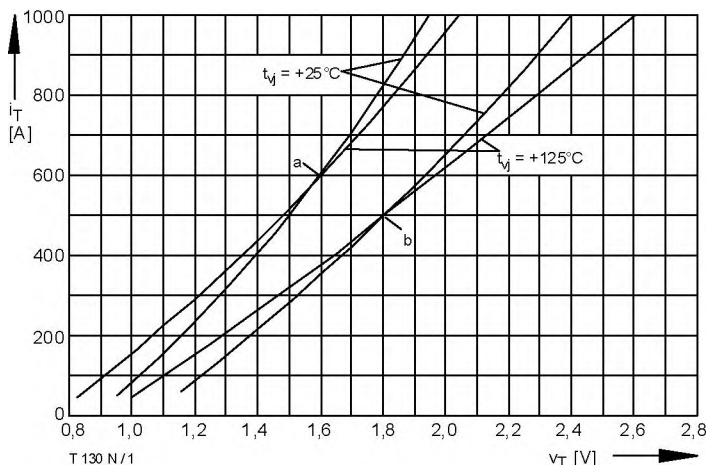


Bild / Fig. 1

Durchlaßkennlinien / On-state characteristics  $i_T = f(v_T)$ 

a - Typische Kennlinien / typical characteristics

b - Grenzkennlinien / limiting characteristics

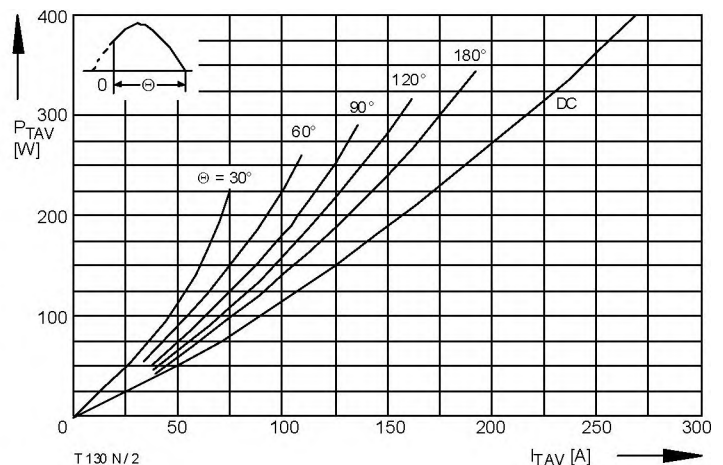


Bild / Fig. 2

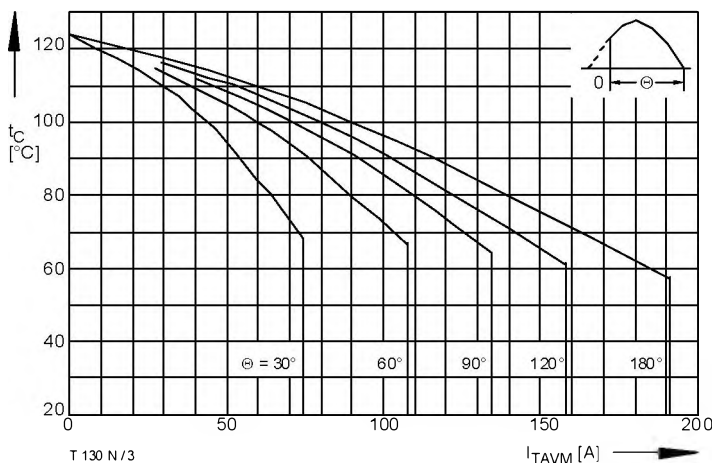
Durchlaßverlustleistung / On-state power loss  $P_{TAV} = f(I_{TAV})$ Parameter Stromflußwinkel / Current conduction angle  $\theta$ 

Bild / Fig. 3

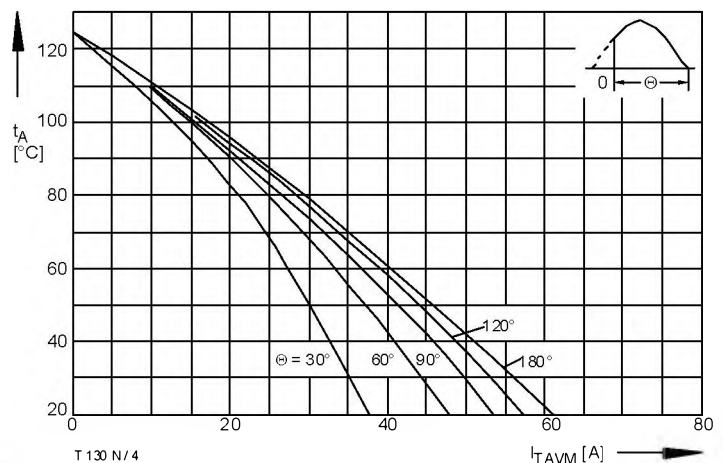
Hochstzulässige Gehäusetemperatur / Max. allowable case temperature  $t_C = f(I_{TAVM})$ Parameter Stromflußwinkel / Current conduction angle  $\theta$ 

Bild / Fig. 4

Hochstzulässige Kühlmitteltemperatur / Max. allowable cooling medium temperature  $t_A = f(I_{TAVM})$ 

Luftsebkühlung / Natural air-cooling

Kühlkörper / Heatsink K 1.1-M12-A

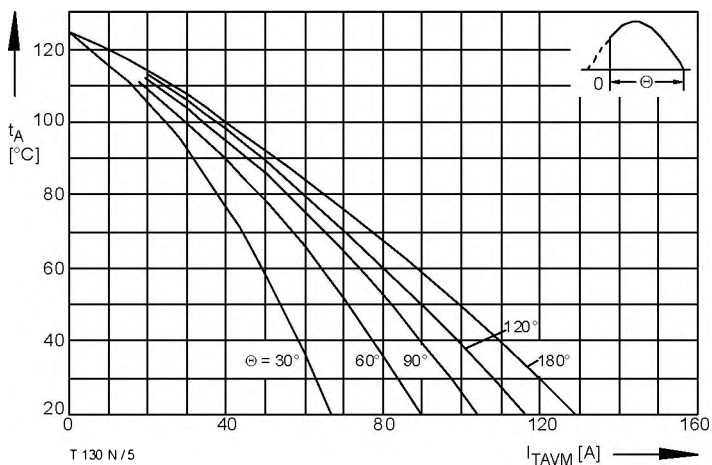
Parameter Stromflußwinkel / Current conduction angle  $\theta$ 

Bild / Fig. 5

Hochzulässige Kühlmitteltemperatur / Max. allowable cooling medium temperature  $t_A = f(I_{TAVM})$ 

Verstärkte Luftkühlung / forced air cooling

Kühlkörper / Heatsink K 1.1-M12-A,  $V_L = 30 \text{ l/s}$ Parameter Stromflußwinkel / Current conduction angle  $\theta$

T 130 N

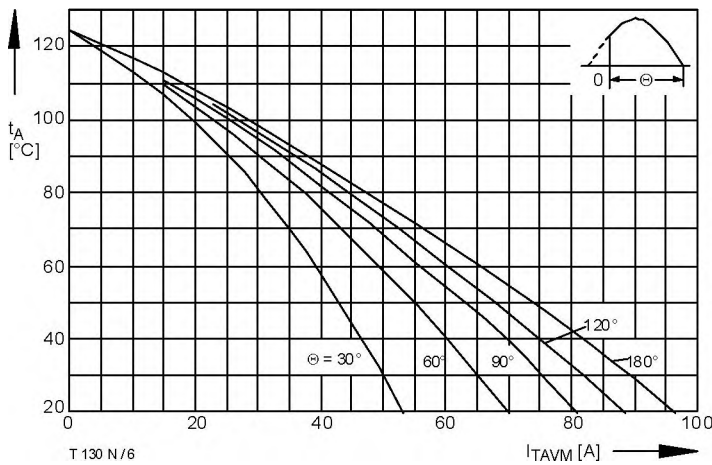


Bild / Fig. 6

Hochzulässige Kuhlmitteltemperatur / Max. allowable cooling medium temperature  $t_A = f(I_{TAVM})$   
Luftselbstkühlung / Natural air-cooling  
Kuhlkörper / Heatsink K0 55-M12-A  
Parameter Stromflußwinkel / Current conduction angle  $\theta$

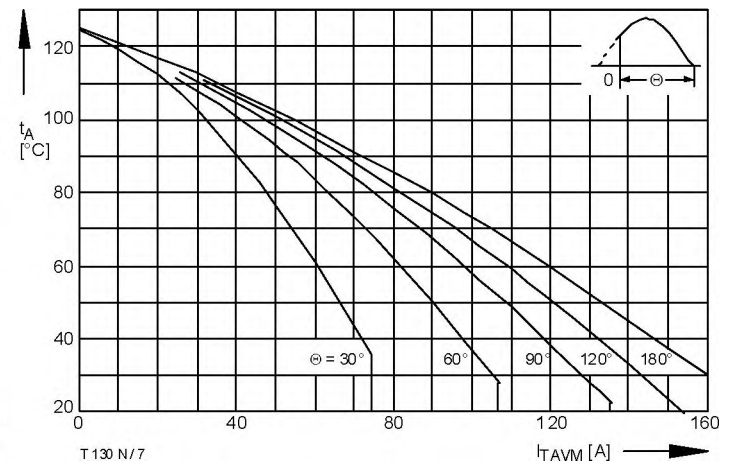


Bild / Fig. 7

Hochzulässige Kuhlmitteltemperatur / Max. allowable cooling medium temperature  $t_A = f(I_{TAVM})$   
Verstärkte Luftkühlung / forced air cooling  
Kuhlkörper / Heatsink K0 55-M12-A,  $V_L = 50$  l/s  
Parameter Stromflußwinkel / Current conduction angle  $\theta$

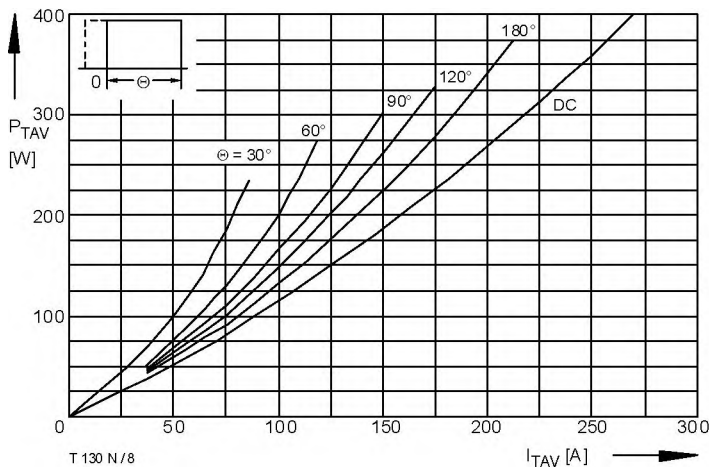


Bild / Fig. 8

Durchlaßverlustleistung / On-state power loss  $P_{TAV} = f(I_{TAV})$   
Parameter Stromflußwinkel / Current conduction angle  $\theta$

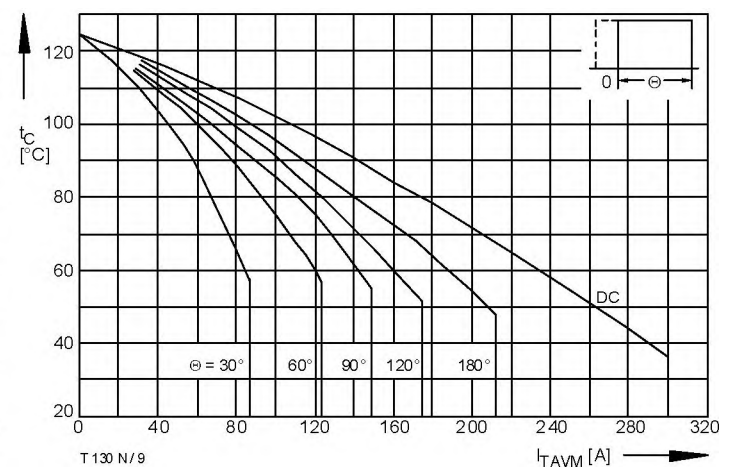


Bild / Fig. 9

Hochzulässige Gehäusetemperatur / Max. allowable case temperature  $t_C = f(I_{TAVM})$   
Parameter Stromflußwinkel / Current conduction angle  $\theta$

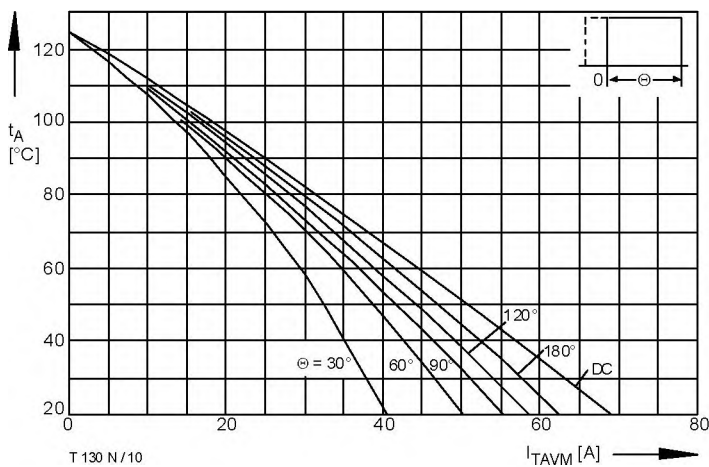


Bild / Fig. 10

Hochzulässige Kuhlmitteltemperatur / Max. allowable cooling medium temperature  $t_A = f(I_{TAVM})$   
Luftselbstkühlung / Natural air-cooling  
Kuhlkörper / Heatsink K1.1-M12-A  
Parameter Stromflußwinkel / Current conduction angle  $\theta$

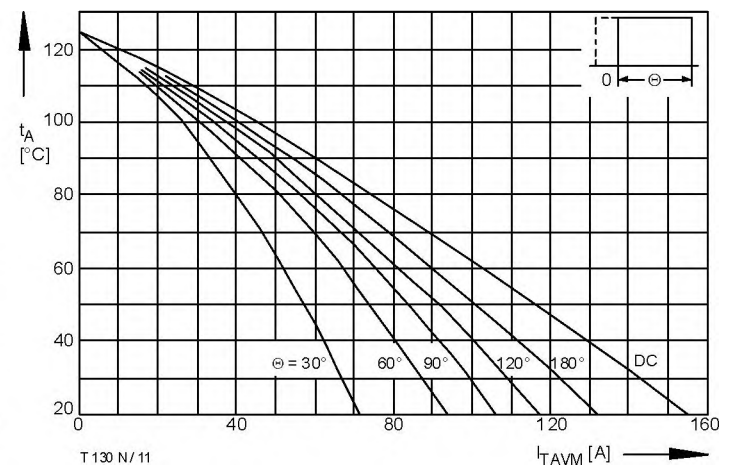
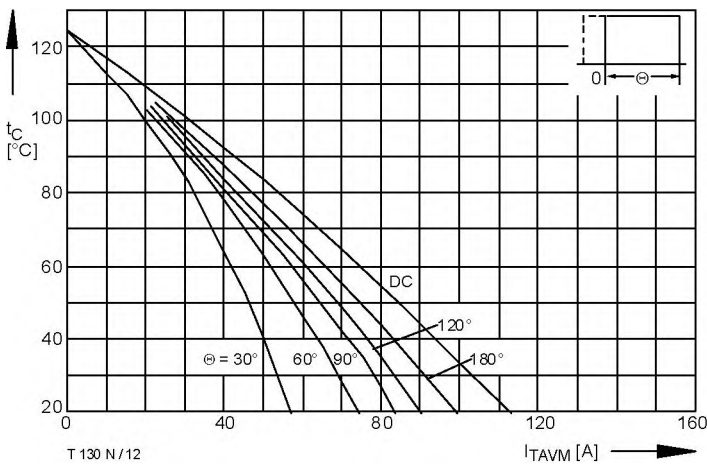


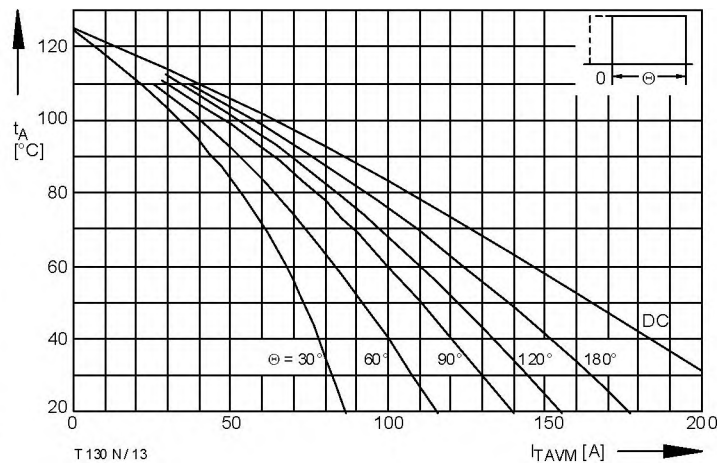
Bild / Fig. 11

Hochzulässige Kuhlmitteltemperatur / Max. allowable cooling medium temperature  $t_A = f(I_{TAVM})$   
Verstärkte Luftkühlung / forced air cooling  
Kuhlkörper / Heatsink K1.1-M12-A,  $V_L = 30$  l/s  
Parameter Stromflußwinkel / Current conduction angle  $\theta$



T 130 N / 12

Bild / Fig. 12  
Hochzulässige Kühlmittelttemperatur / Max. allowable cooling medium  
temperatur  $t_A = f(I_{TAVM})$   
Luftselbstkühlung / Natural air-cooling  
Kuhlkörper / Heatsink K0 55-M12-A  
Parameter Stromflußwinkel / Current conduction angle  $\theta$



T 130 N / 13

Bild / Fig. 13  
Hochzulässige Kühlmittelttemperatur / Max. allowable cooling medium  
temperatur  $t_A = f(I_{TAVM})$   
Verstärkte Luftkühlung / Forced air-cooling,  
Kuhlkörper / Heatsink K0 55-M12-A,  $V_L = 50$  l/s  
Parameter Stromflußwinkel / Current conduction angle  $\theta$

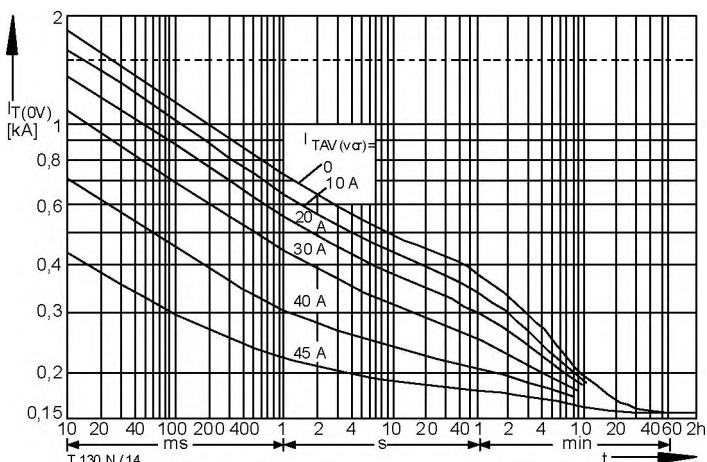


Bild / Fig. 14  
Überstrom / Overload on-state current  $I_{T(OV)} = f(t)$   
Luftselbstkühlung / Natural air-cooling,  $t_A = 45$  °C  
Kuhlkörper / Heatsink K0 11-M12-A  
Parameter: Vorlaststrom / Pre-load current  $I_{TAV(vor)}$

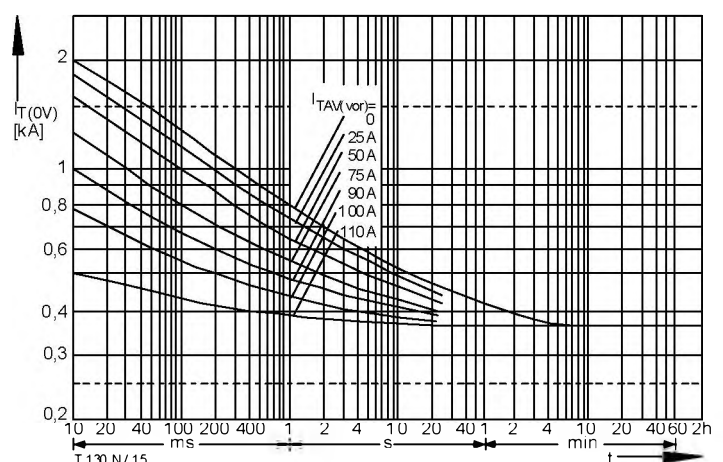


Bild / Fig. 15  
Überstrom / Overload on-state current  $I_{T(OV)} = f(t)$   
Verstärkte Luftkühlung / Forced air-cooling,  $t_A = 35$  °C  
Kuhlkörper / Heatsink K0 11-M12-A,  $V_L = 30$  l/s  
Parameter: Vorlaststrom / Pre-load current  $I_{TAV(vor)}$

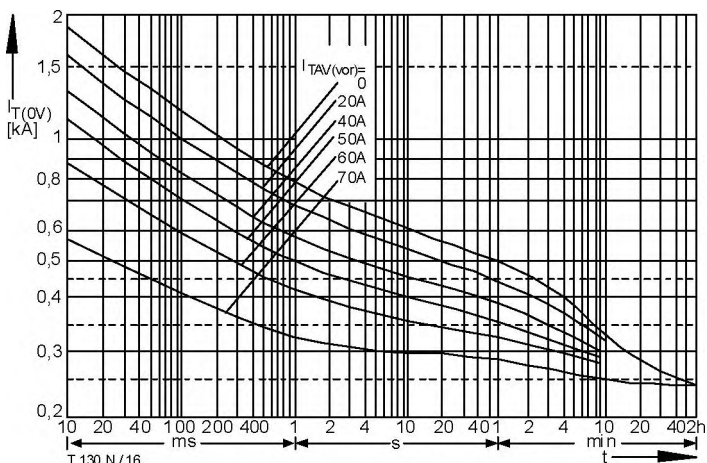


Bild / Fig. 16  
Überstrom / Overload on-state current  $I_{T(OV)} = f(t)$   
Luftselbstkühlung / Natural air-cooling,  $t_A = 45$  °C  
Kuhlkörper / Heatsink K0 55-M12-A  
Parameter: Vorlaststrom / Pre-load current  $I_{TAV(vor)}$

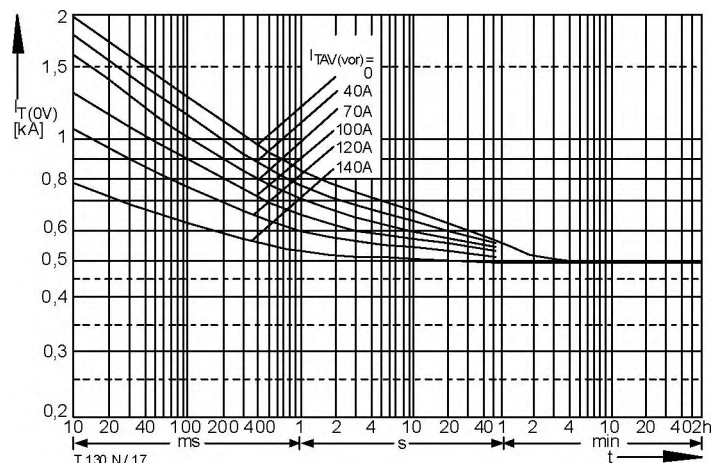


Bild / Fig. 17  
Überstrom / Overload on-state current  $I_{T(OV)} = f(t)$   
Verstärkte Luftkühlung / Forced air-cooling,  $t_A = 35$  °C  
Kuhlkörper / Heatsink K0 55-M12-A,  $V_L = 50$  l/s  
Parameter: Vorlaststrom / Pre-load current  $I_{TAV(vor)}$

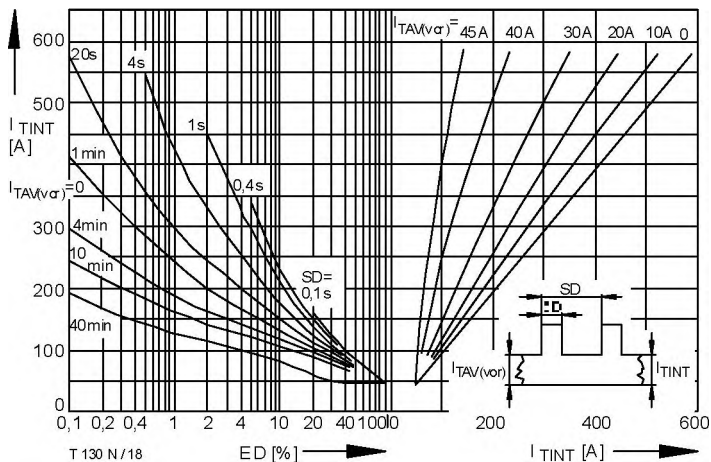


Bild / Fig. 18

Hochstzulässiger Durchlaßstrom bei Aussetzbetrieb / Max. allowable on-state current at intermittent operation  $I_{TINT} = f(ED)$   
Luftselbstkühlung / Natural air-cooling,  $t_A = 45^\circ C$   
Kuhlkörper / Heatsink K1.1-M12-A  
Parameter: Spieldauer / Cycle duration SD  
Vorlaststrom / Pre-load current  $I_{TAV(vor)}$

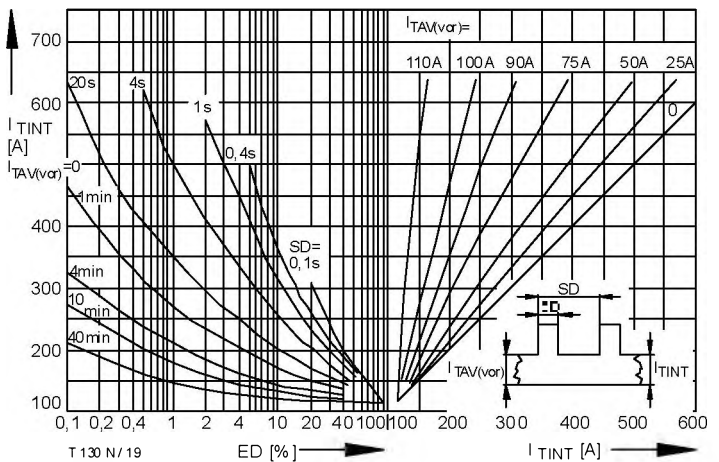


Bild / Fig. 19

Hochstzulässiger Durchlaßstrom bei Aussetzbetrieb / Max. allowable on-state current at intermittent operation  $I_{TINT} = f(ED)$   
Verstärkte Luftkühlung / Forced air-cooling,  $t_A = 35^\circ C$ ,  $V_L = 30 l/s$   
Kuhlkörper / Heatsink K1.1-M12-A  
Parameter: Spieldauer / Cycle duration SD  
Vorlaststrom / Pre-load current  $I_{TAV(vor)}$

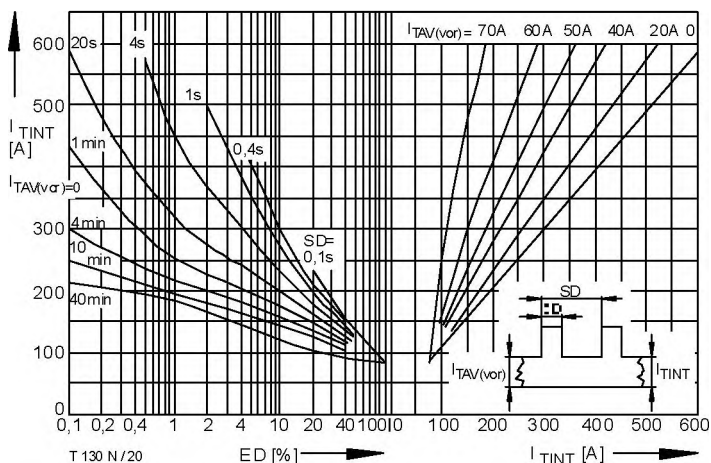


Bild / Fig. 20

Hochstzulässiger Durchlaßstrom bei Aussetzbetrieb / Max. allowable on-state current at intermittent operation  $I_{TINT} = f(ED)$   
Luftselbstkühlung / Natural air-cooling,  $t_A = 45^\circ C$   
Kuhlkörper / Heatsink K0.55-FB54-A  
Parameter: Spieldauer / Cycle duration SD  
Vorlaststrom / Pre-load current  $I_{TAV(vor)}$

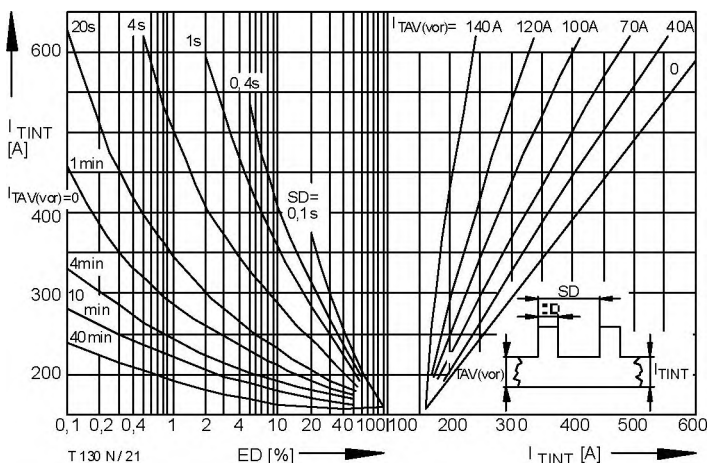


Bild / Fig. 21

Hochstzulässiger Durchlaßstrom bei Aussetzbetrieb / Max. allowable on-state current at intermittent operation  $I_{TINT} = f(ED)$   
Verstärkte Luftkühlung / Forced air-cooling,  $t_A = 35^\circ C$ ,  $V_L = 50 l/s$   
Kuhlkörper / Heatsink K0.55-M12-A  
Parameter: Spieldauer / Cycle duration SD  
Vorlaststrom / Pre-load current  $I_{TAV(vor)}$

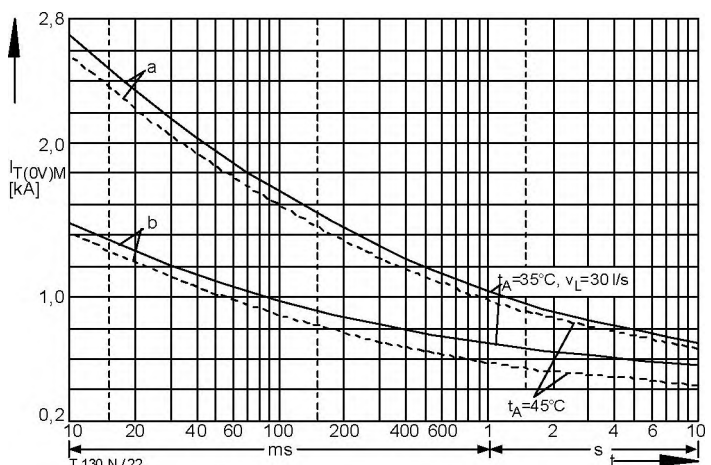


Bild / Fig. 22

Grenzstrom / Max. overload on-state current  $I_{T(OVM)} = f(t)$ ,  $v_{RM} = 0,8 V_{RRM}$   
---- Luftselbstkühlung / Natural air-cooling,  $t_A = 45^\circ C$   
— Verstärkte Luftkühlung / Forced air-cooling,  $t_A = 35^\circ C$ ,  $V_L = 30 l/s$   
Kuhlkörper / Heatsink K1.1-M12-A  
Belastung aus / Surge current occurs:  
a - Leerlauf / No-load conditions  
b - Betrieb mit Dauergrenzstrom / During operation at max. average on-state current  $I_{TAVM}$

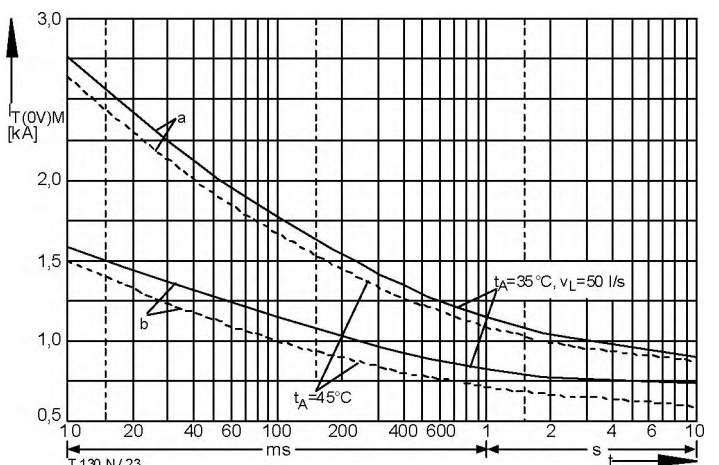


Bild / Fig. 23

Grenzstrom / Max. overload on-state current  $I_{T(OVM)} = f(t)$ ,  $v_{RM} = 0,8 V_{RRM}$   
---- Luftselbstkühlung / Natural air-cooling,  $t_A = 45^\circ C$   
— Verstärkte Luftkühlung / Forced air-cooling,  $t_A = 35^\circ C$ ,  $V_L = 50 l/s$   
Kuhlkörper / Heatsink K0.55-FB54-A  
Belastung aus / Surge current occurs:  
a - Leerlauf / No-load conditions  
b - Betrieb mit Dauergrenzstrom / During operation at max. average on-state current  $I_{TAVM}$

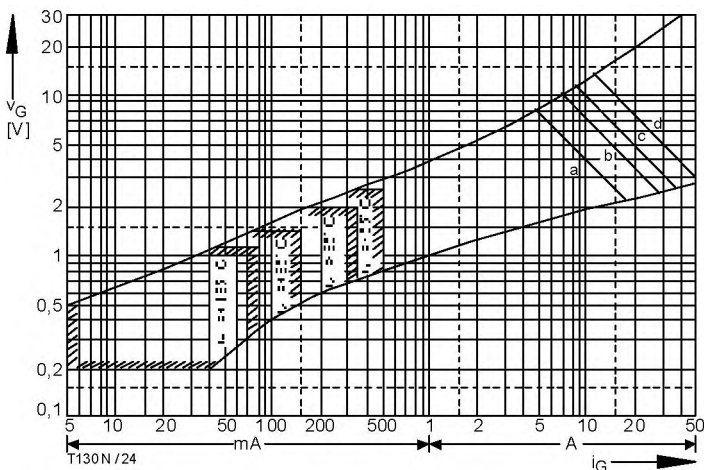


Bild / Fig. 24  
Steuercharakteristik mit Zündbereichen / Gate characteristic with triggering areas  $v_G = f(i_G)$ ,  $V_D = 6 \text{ V}$   
Parameter:

	a	b	c	d
Steuerimpulsdauer / trigger pulse duration $t_g$ [ms]	10	1	0,5	0,1
Hochstzulässige Spitzesteuerverlustleistung / Max. rated peak gate power dissipation [W]	40	80	100	150

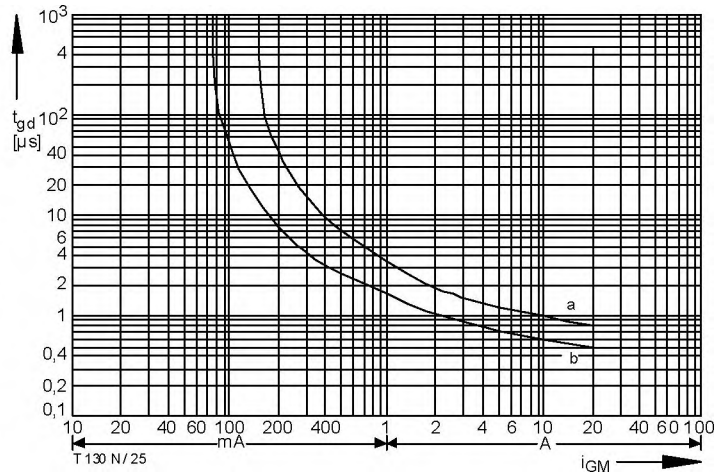


Bild / Fig. 25  
Zündverzug / Gate controlled delay time  $t_{gd} = f(i_{GM})$   
 $t_{vj} = 25^\circ\text{C}$ ,  $di_G/dt = i_{GM}/1\mu\text{s}$   
a - Maximaler Verlauf / Limiting characteristic  
b - Typischer Verlauf / Typical characteristic

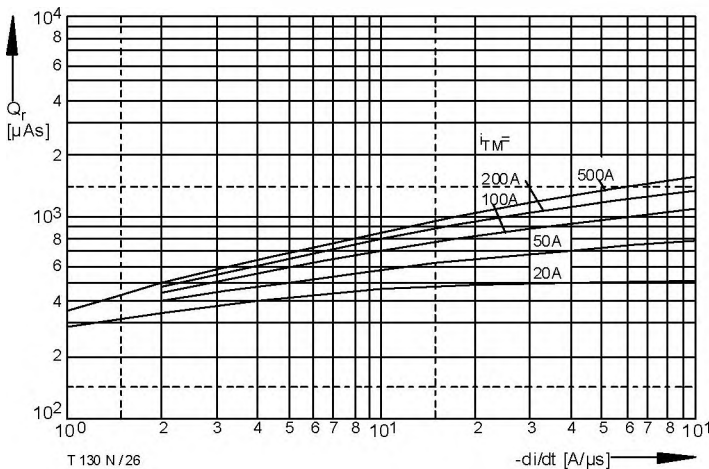


Bild / Fig. 26  
Sperrverzogerungsladung / Recovered charge  $Q_r = f(di/dt)$   
 $t_{vj} = t_{vj \max}$ ,  $V_R = 0,5 \text{ V}_{RRM}$ ,  $V_{RM} = 0,8 \text{ V}_{RRM}$   
Parameter Durchlaßstrom / On-state current  $i_{TM}$

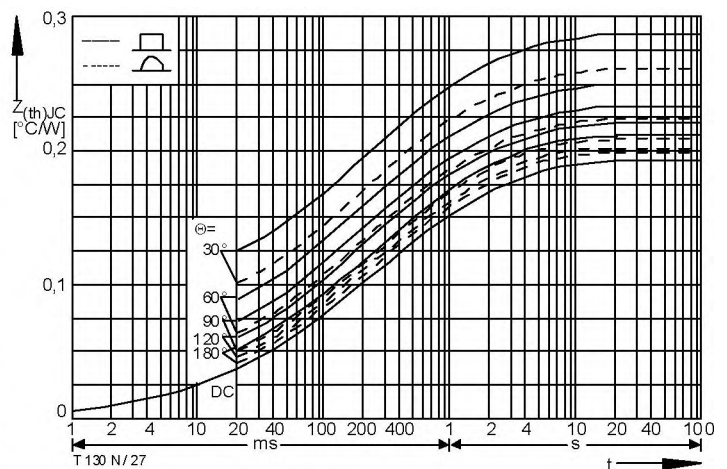


Bild / Fig. 27  
Transient innerer Warmewiderstand / Transient thermal impedance  
 $Z_{thJC} = f(t)$   
Parameter: Stromflußwinkel / current conduction angle  $\theta$

Analytische Elemente des transienten Warnewiderstandes  $Z_{thJC}$  pro Zweig für DC  
Analytical elements of transient thermal impedance  $Z_{thJC}$  per arm for DC

Pos. n	1	2	3	4	5	6	7	8	9
$R_{thn} [\text{C/W}]$	0,00832	0,0243	0,0373	0,0185	0,037	0,00058	0,0152	0,0353	0,0152
$\tau_n [\text{s}]$	0,00089	0,0171	0,0905	0,27	0,413	0,616	0,74	2,16	3

Analytische Funktion / Analytical function:

$$Z_{thJC} = \sum_{n=1}^{n_{\max}} R_{thn} (1 - e^{-\frac{t}{\tau_n}})$$